

PSYCO PSEUDO PIXELA FILTERS

IMPLEMENTACIÓN DE LOS FILTROS POLIFÁSICOS DE ANÁLISIS Y SÍNTESIS SEGÚN LA NORMATIVA

ISO_IEC_11172-3_1993
(MPEG I, LAYER III)

JULIÁN ESTEBAN NIETO DÍAZ

CHRISTIAN RAFAEL MORA PARGA

JULIÁN GUILLERMO RODRÍGUEZ MORA

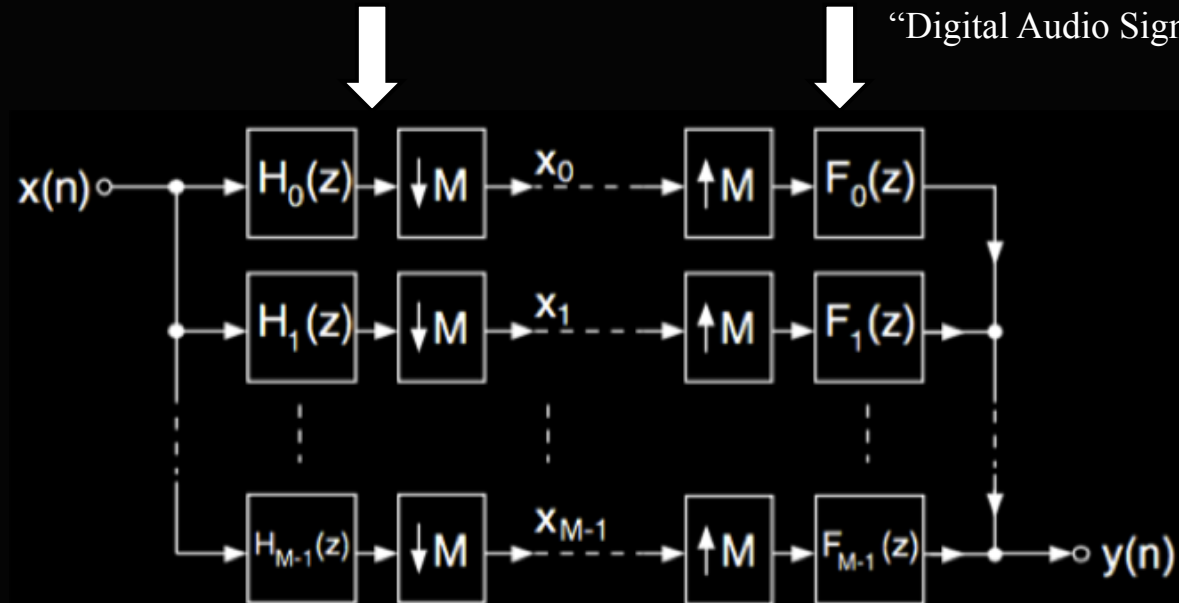
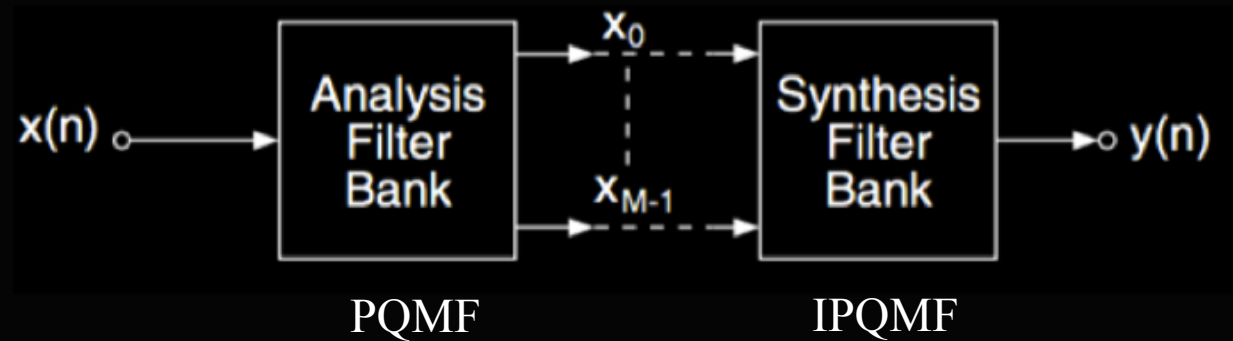
UNIVERSIDAD DE SAN BUENAVENTURA BOGOTÁ

INGENIERÍA DE SONIDO

PROCESAMIENTO DIGITAL DE SEÑALES, 2019-1

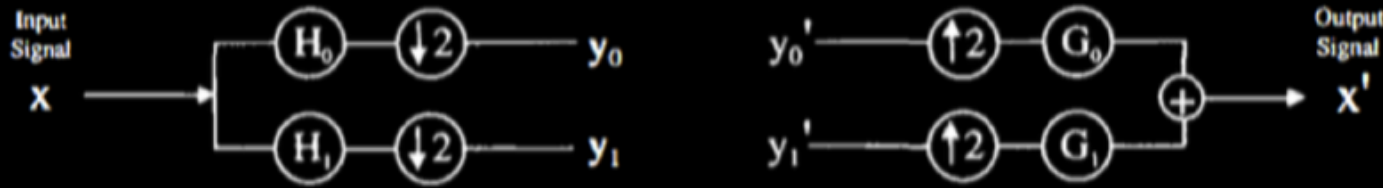
INTRODUCCIÓN

Los filtros polifásicos, mejor conocidos como PQMF (Pseudo Quadrature Mirror Filters) y su inverso IPQMF, son un banco de filtros que pretenden descomponer en 32 bandas para n frames de tiempo, señales de audio. Todo esto con el propósito de hacer una posterior discriminación de alocaación en bits a partir de un modelo psicoacústico.



“Digital Audio Signal Processing” U. Zölzer, 2008, p. 287.

Par de Filtros Espejo de Cuadratura



Marina & Richard, 2003

-La resultante del overlap-add para la reconstrucción de $x[n]$ es $x'[n]$

$$TZ\{x'[n]\} = X'(z) = Y_0(z^2)G_0(z) + Y_1(z^2)G_1(z)$$

Condiciones de simetría (espejo) para ambos filtros:

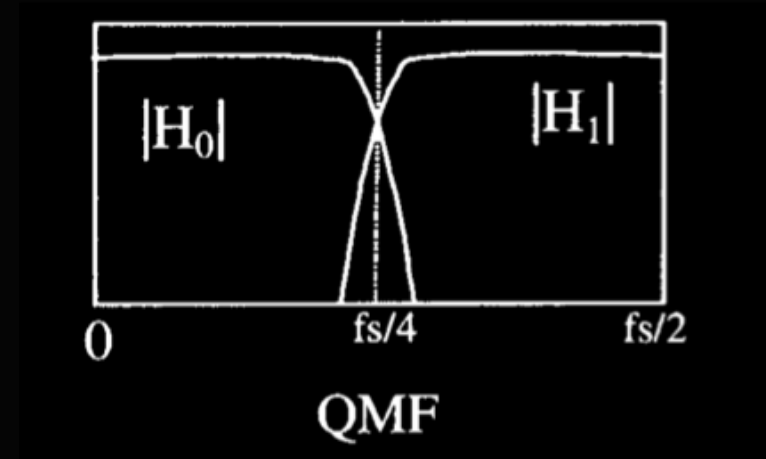
$$\pm H_0(\pm z) = \mp H_1(\mp z)$$

$$G_0(z) = -H_1(-z), \quad G_1(z) = H_0(-z)$$

Eventualmente se llega a:

$$X'(z) = \frac{1}{2} \left(H_0^2(z) - H_0^2(-z) \right) X(z)$$

$h_{0,1}[n]$: filtros de análisis
 $g_{0,1}[n]$: filtros de síntesis (reconstrucción)



Marina & Richard, 2003

Se requiere que:

$$H_0^2(z) - H_0^2(-z) = 2z^{-l}$$

Se logra una “reconstrucción perfecta” visualisable en la forma de un FIR de orden l de un único retraso.

$$X'(z) = X(z)z^{-l} \rightarrow x'[n] = x[n - l]$$

FILTROS ESPEJO DE PSEUDO CUADRATURA (PQMF)

SECCIÓN DE ANÁLISIS:

Down sampling (decimación) a 32:

$$((h[k] * x) \downarrow 32)[n]$$

Convolución con cada filtro de análisis h_k :

$$y[k, n] = h[k, n] * x[n], \quad k = 0, 1, \dots, 31$$

Suponiendo 512 muestras de audio, se filtra en 32 bandas, y la resultante total de $y[k, n]$ organizada será:

$$y[k, n] = [y_0[0] \dots y_0[15], y_1[0] \dots y_1[15], \dots, y_{31}[0] \dots y_{31}[15]]$$

$y[k, n]$ posee 512 muestras en total, dado que está críticamente muestreada (efecto de la decimación).

Sin decimación ésta sería :

$$y[k, n] = [y_0[0] \dots y_0[511], y_1[0] \dots y_1[511], \dots, y_{31}[0] \dots y_{31}[511]]$$

SECCIÓN DE SÍNTESIS

Up sampling (interpolación) a 32:

Se insertan ceros entre las muestras de $y_k[n]$

$$((y[k]) \uparrow 32)[n]$$

De-convolución con cada filtro de síntesis (reconstrucción) g_k :

$$y[k, n] * g[k, n]$$

Overlap-add:

$$x[n] = \sum_{k=0}^{31} y[k, n] * g[k, n]$$

Modulación del Filtro Base H_0 para obtener el Banco de Filtros H_k

-Convolución de $x[n]$, con filtros de análisis $h_k[n]$

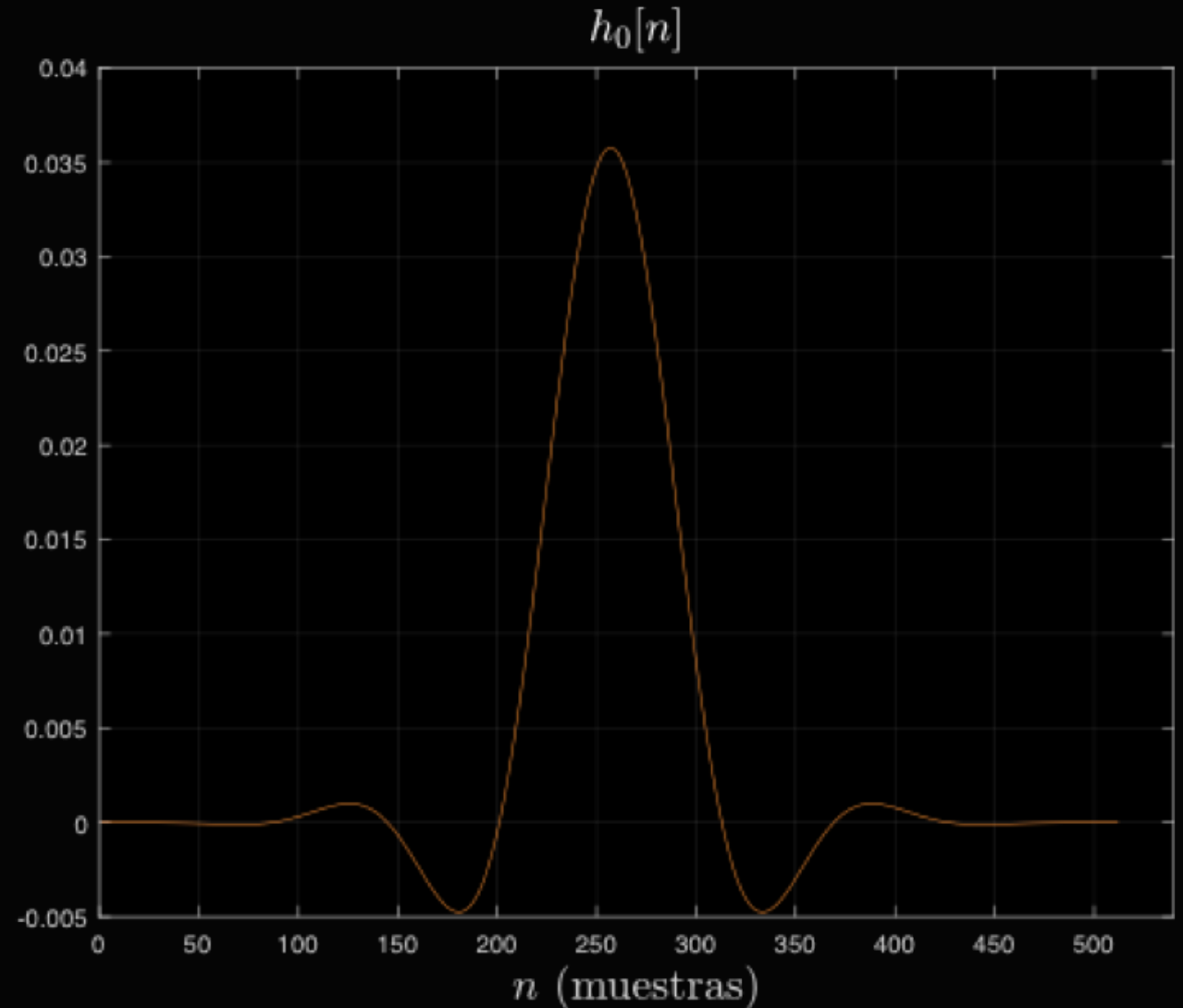
$$h_k[n] * x[n], \quad k = 0, 1, \dots, 31$$

-Modulación de un filtro base de análisis $h_0[n]$ para obtener los distintos $h_k[n]$

$$h_k[n] = h_0[n] \cos \left[(2k + 1)(n - 16) \frac{\pi}{64} \right],$$
$$k = 0, 1, \dots, 31, \quad n = 0, 1, \dots, 511$$

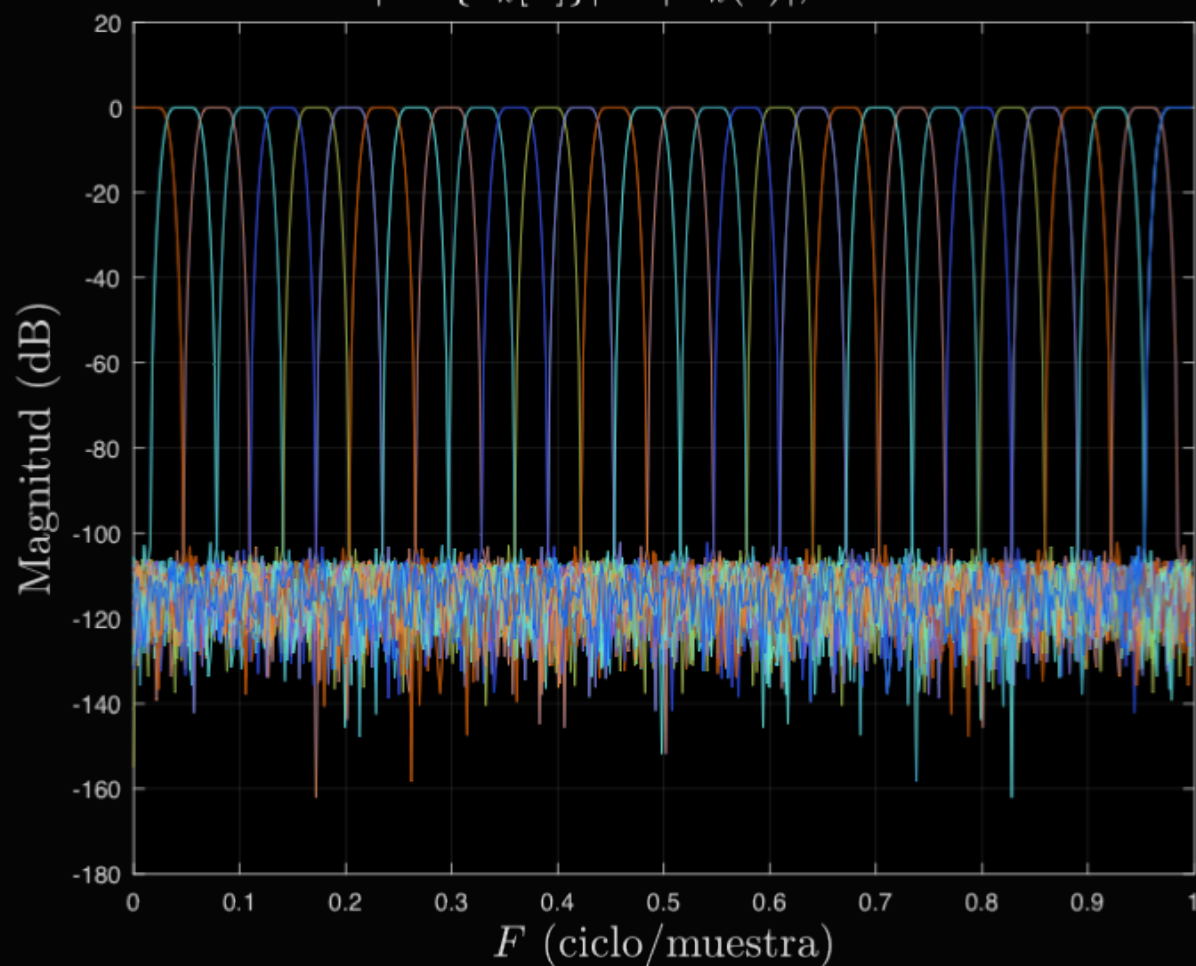
-Traslapo entre bandas de $512/32 = 16$ muestras, genera un hop-size en el espectro digital de 32 muestras.

De igual forma $f_N/32 = 689$ Hz

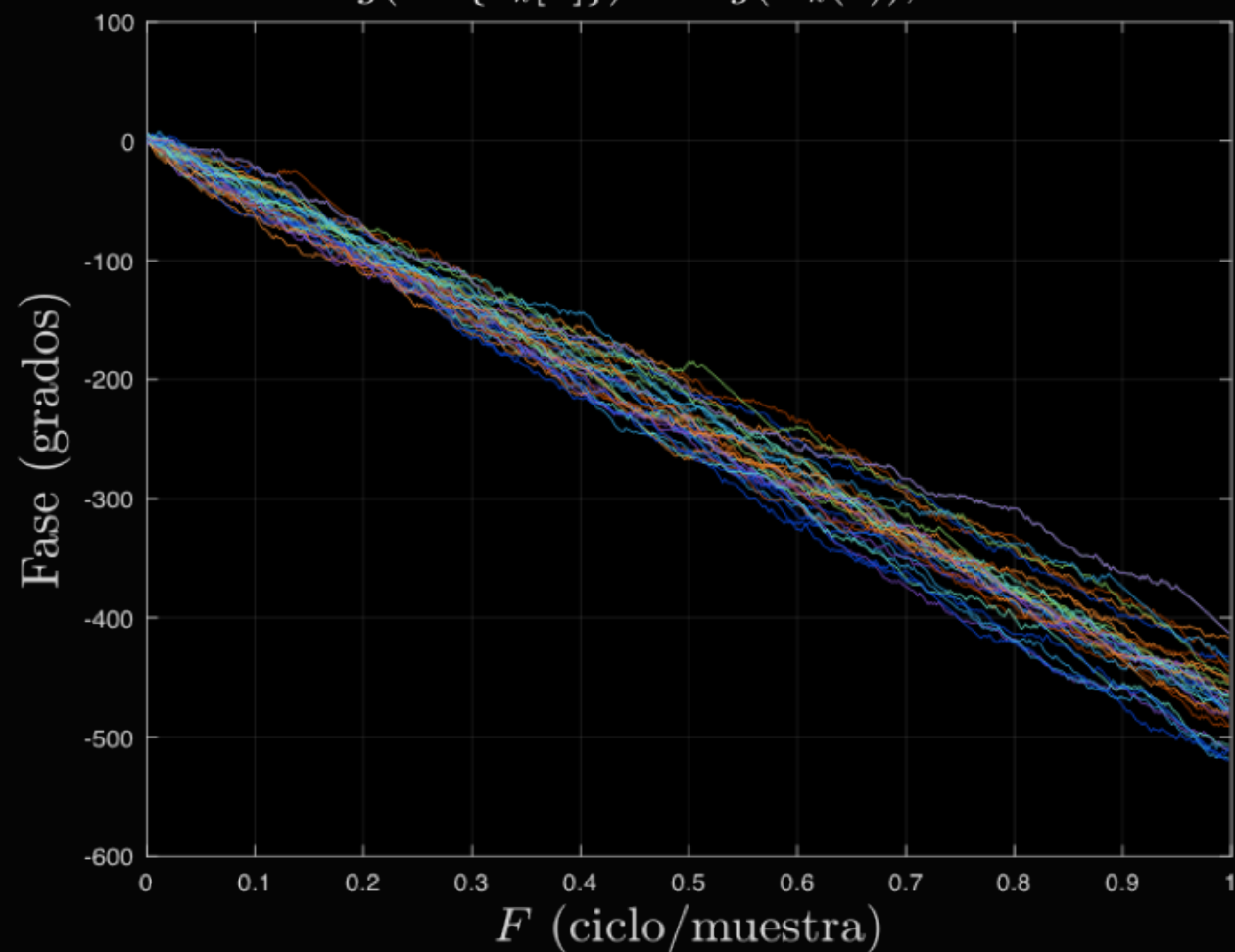


$$h_k[n] = h_0[n] \cos \left[(2k + 1)(n - 16) \frac{\pi}{64} \right], \quad k = 0, 1, \dots, 31, \quad n = 0, 1, \dots, 511$$

$$|TZ\{h_k[n]\}| = |H_k(z)|, \quad z = e^{j\omega}$$



$$\arg(TZ\{h_k[n]\}) = \arg(H_k(z)), \quad z = e^{j\omega}$$



Implementación teórica del algoritmo

Expresión analítica temporal del procedimiento:

$$y_k[n] = \sum_{m=0}^{511} h_k[m]x[32n - m], \quad k \in \mathbb{Z}, \quad k = 0, 1, \dots, 32, \quad \text{y} \quad n, m \in \mathbb{Z}, \quad n, m = 0, 1, \dots, 511$$

Una implementación directa de la formulación anterior implica; 16384 multiplicaciones combinadas, con sumas, tan solo para entregar 32 salidas de $y_k[n]$ para cada bloque de 32 muestras de la señal de entrada $x[n]$.

Expresión analítica temporal del procedimiento:

$$y_k[n] = \sum_{m=0}^{511} h_k[m]x[32n - m], \quad k \in \mathbb{Z}, \quad k = 0, 1, \dots, 32, \quad y \quad n, m \in \mathbb{Z}, \quad n, m = 0, 1, \dots, 511$$

Optimización para $y_k[n]$:

$$y_k[n] = \sum_{r=0}^{63} \sum_{q=0}^7 h_k[64q + r] \cdot x[32n - 64q - r], \quad q, r \in \mathbb{Z}, \quad q = 0, 1, \dots, 7, \quad r = 0, 1, \dots, 63.$$

Matriz moduladora: $M[k, r] = \cos \left[\frac{(2k+1)(r-16)\pi}{64} \right], \quad k = 0, 1, \dots, 31, \quad r = 0, 1, \dots, 64, \quad q = 0, 1, \dots, 7$

Banco de filtros: $h_k[64q + r] = C[64q + r] \cdot M[k, r]$

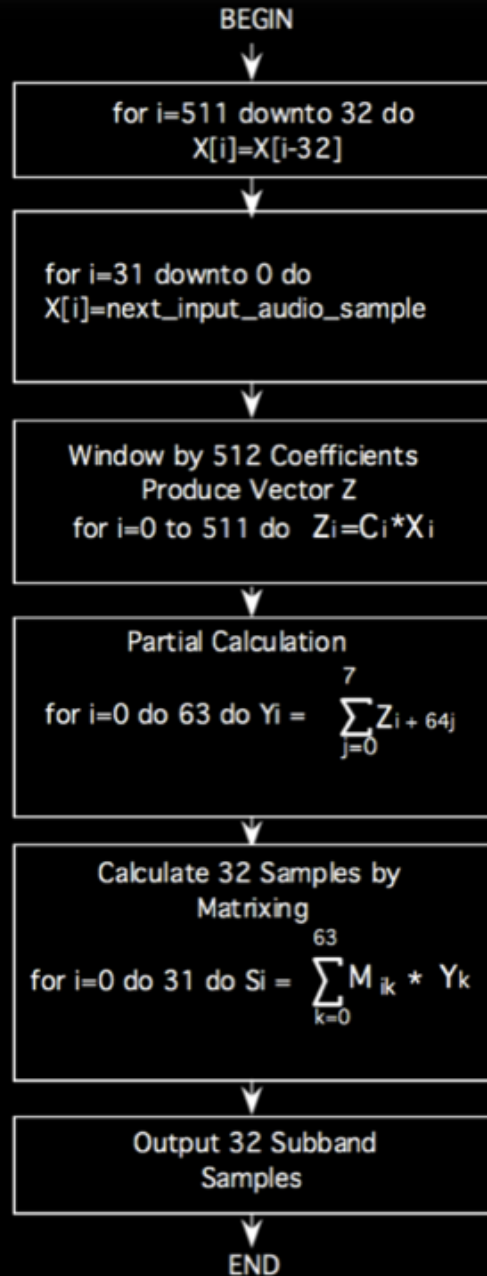
Formulación final de $y_k[n]$ que contiene 80 multiplicaciones y adiciones por muestra ($2 \cdot 80 \cdot 32 = 5120$ operaciones).
Se ventanea x con la ventana C , que luego será modulada por M :

$$y_k[n] = \sum_{r=0}^{63} M[k, r] \sum_{q=0}^7 C[64q + r] \cdot x[32n - 64q - r]$$

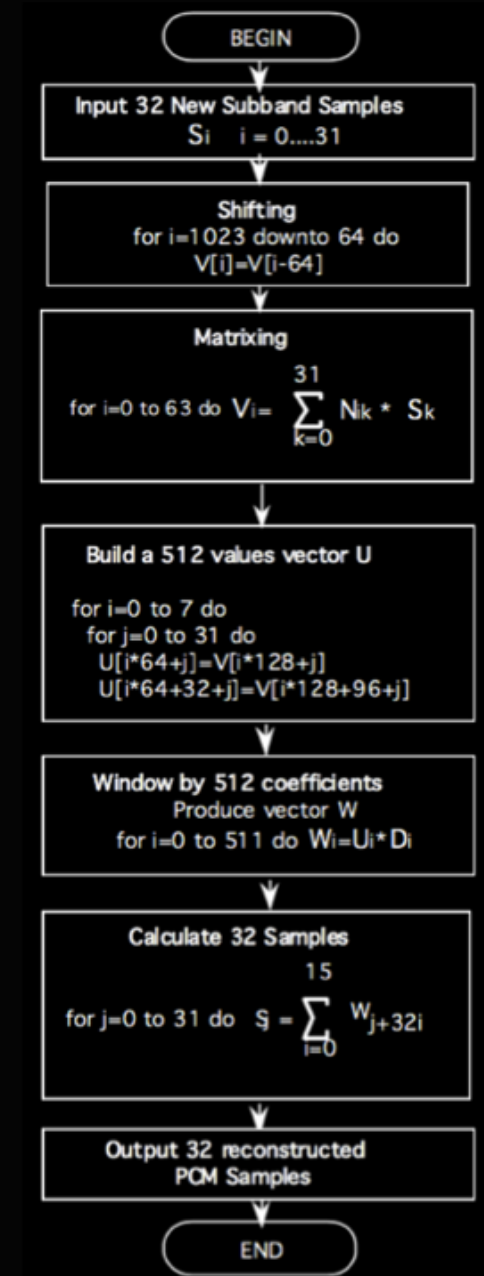
IMPLEMENTACIÓN EN JUCE

Pseudo-códigos propuestos por la normativa

PQMF:



IPQMF:



$X[i] = [63, 62, 61, \dots, 31, 30, 29, \dots, 2, 1, 0, \dots, 0, 0, 0]$
 $0, 1, 2, \dots, 32, 33, 34, \dots, 61, 62, 63, \dots, 509, 510, 511$



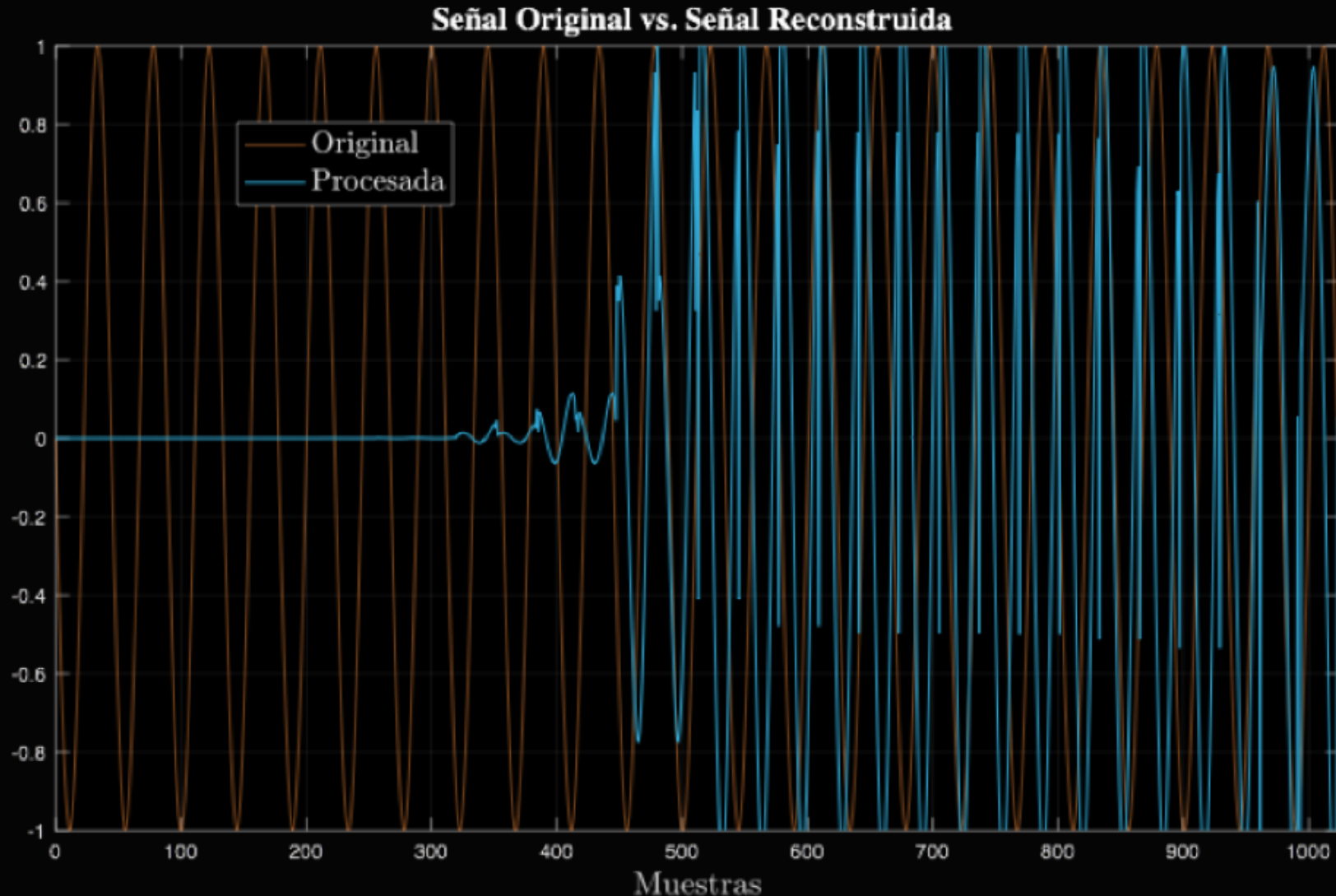
Según la norma, las muestras ingresan de la primera a la última desde el primer hasta el último espacio en el arreglo de a bloques de 32 muestras.

$X[i] = [0, 0, 0, \dots, 511, 510, 509, \dots, 479, 478, 477, \dots, 449, 448, 447]$
 $0, 1, 2, \dots, 448, 447, 446, \dots, 480, 481, 482, \dots, 510, 511, 512$



En el algoritmo implementado, se ingresan directamente las muestras de la última a la primera de forma inversa.

Reconstrucción de la Señal pasando por el PQMF e IPQMF sin el Algoritmo de Reinterpretación



BUFFER CIRCULAR INVERSO

```
#include <stdio.h>
#include <iostream>
#include "math.h"

class CircularPQMF_Buffer{
public:

    CircularPQMF_Buffer();
    ~CircularPQMF_Buffer();

    void setBufferSize(int size);
    void clear();
    void addSample(float sample);

    float *buffer;

private:
    int index, i = 0;
    int bufferSize;
};
```

```
void CircularPQMF_Buffer::setBufferSize(int size){
    if(buffer) {delete[]buffer;}
    bufferSize = size;
    index = bufferSize - 1;
    buffer = newfloat[bufferSize];
    clear();
}

void CircularPQMF_Buffer::clear(){
    memset(buffer, 0, bufferSize *sizeof(float));
}

void CircularPQMF_Buffer::addSample(float sample){
    buffer[index] = sample;
    if(index == 0){index = bufferSize;}
    index--;
}
```

CLASES DE PQMF E IPQMF

```
#include<math.h>
#include<cstring>
#include<iostream>
```

```
extern float c[512]; } → Filtro base de análisis
```

```
class PQMF_Analysis{
public:
    PQMF_Analysis(){
        memset(z,0,sizeof(z));
        memset(s,0,sizeof(s));
        part_sum=0;
        part_sum2=0;
        block_index=0;
        num_blocks=16;
        jj=0;

        //cálculo de la matriz moduladora M para el análisis
        for(int k = 0; k<32; k++){
            for(int r = 0; r<64; r++) {
                M_k_r[k][r] =cos((k+0.5)*(r-16)*(M_PI/32));
            }
        }
    };

    ~PQMF_Analysis(){};

    void setNumberBlocks(int);
    float *PQMF_Filtering(floatx[]);

private:
    int block_index, num_blocks, jj;
    float z[512];
    float s[64];
    float M_k_r[32][64];
    float part_sum, part_sum2;
};
```

```
#include<iostream>
#include<stdio.h>
#include<math.h>
```

```
extern float d[512]; } → Filtro base de síntesis
```

```
class IPQMF_Synthesis{
public:

    IPQMF_Synthesis(){
        memset(v,0,sizeof(v));
        memset(u,0,sizeof(u));
        memset(w,0,sizeof(w));
        part_sum=0;
        part_sum2=0;

        //cálculo de la matriz moduladora N para la síntesis
        for(int k = 0; k<32; k++){
            for(int r = 0; r<64; r++) {
                N_k_r[k][r] =cos((2*k+1)*(r+16)*(M_PI/64));
            }
        }
    };

    ~IPQMF_Synthesis(){};

    float*IPQMF_Filtering(floaty[]);

private:
    float v[1024];
    float u[512];
    float w[512];
    float N_k_r[32][64];
    float part_sum, part_sum2;
};
```

PQMF

```
#include"PQMF_Analysis.h"
```

```
float *PQMF_Analysis::PQMF_Filtering(float x[]){
```

```
    block_index %= 16;
```

```
    jj = 0;
```

```
    for(int i = 0; i < 512; i++) {
        jj = i + 480 - block_index*32;
        if(i >= 32 * (block_index + 1)){
            jj = i - 32*(block_index + 1);
        }
        z[i] = c[i] * x[jj];
    }
```

```
    block_index++;
```

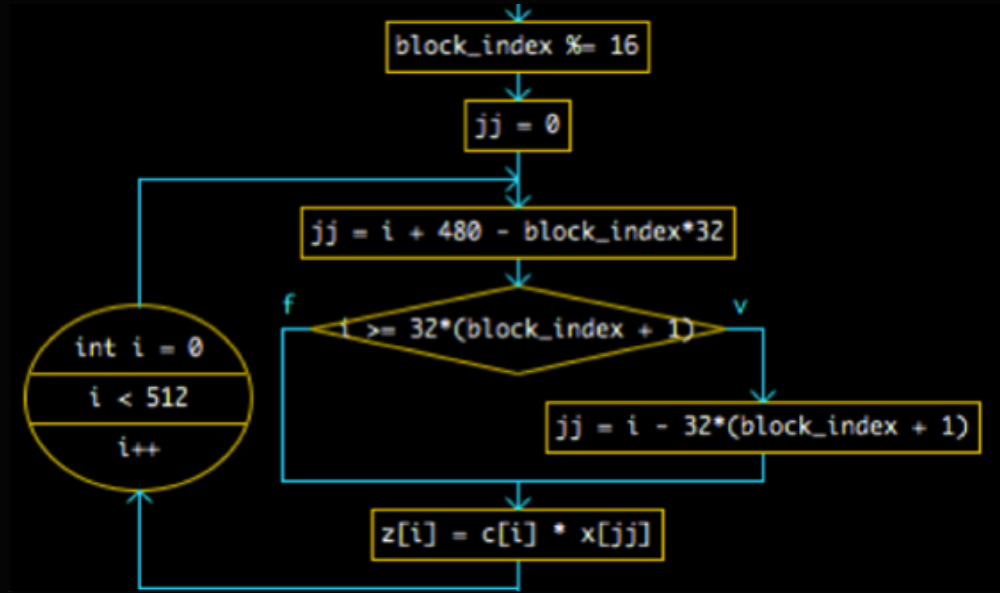
```
    for(auto r = 0; r < 64; r++) {
        part_sum = 0;
        for(auto j = 0; j < 8; j++){
            part_sum = part_sum + z[r + 64*j];
        }
        s[r] = part_sum;
    }
```

```
    static float y[32];
```

```
    for(auto k = 0; k < 32; k++){
        part_sum2 = 0;
        for(auto r = 0; r < 64; r++){
            part_sum2 += M_k_r[k][r] * s[r];
        }
        y[k] = part_sum2;
    }
```

```
    return y;
```

```
}
```



Reinterpretación del ingreso de las muestras de audio, para tomarlas como la norma indica.

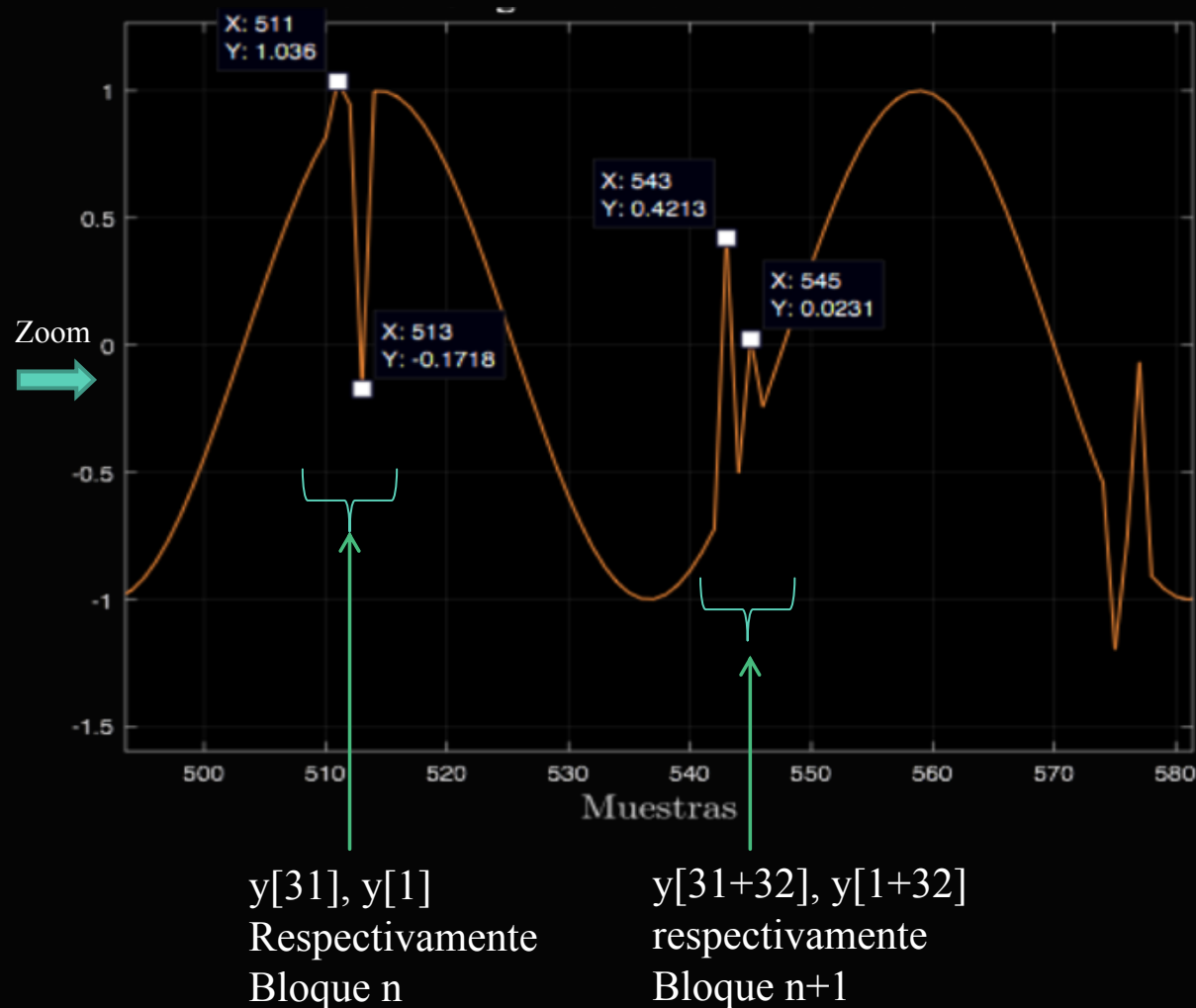
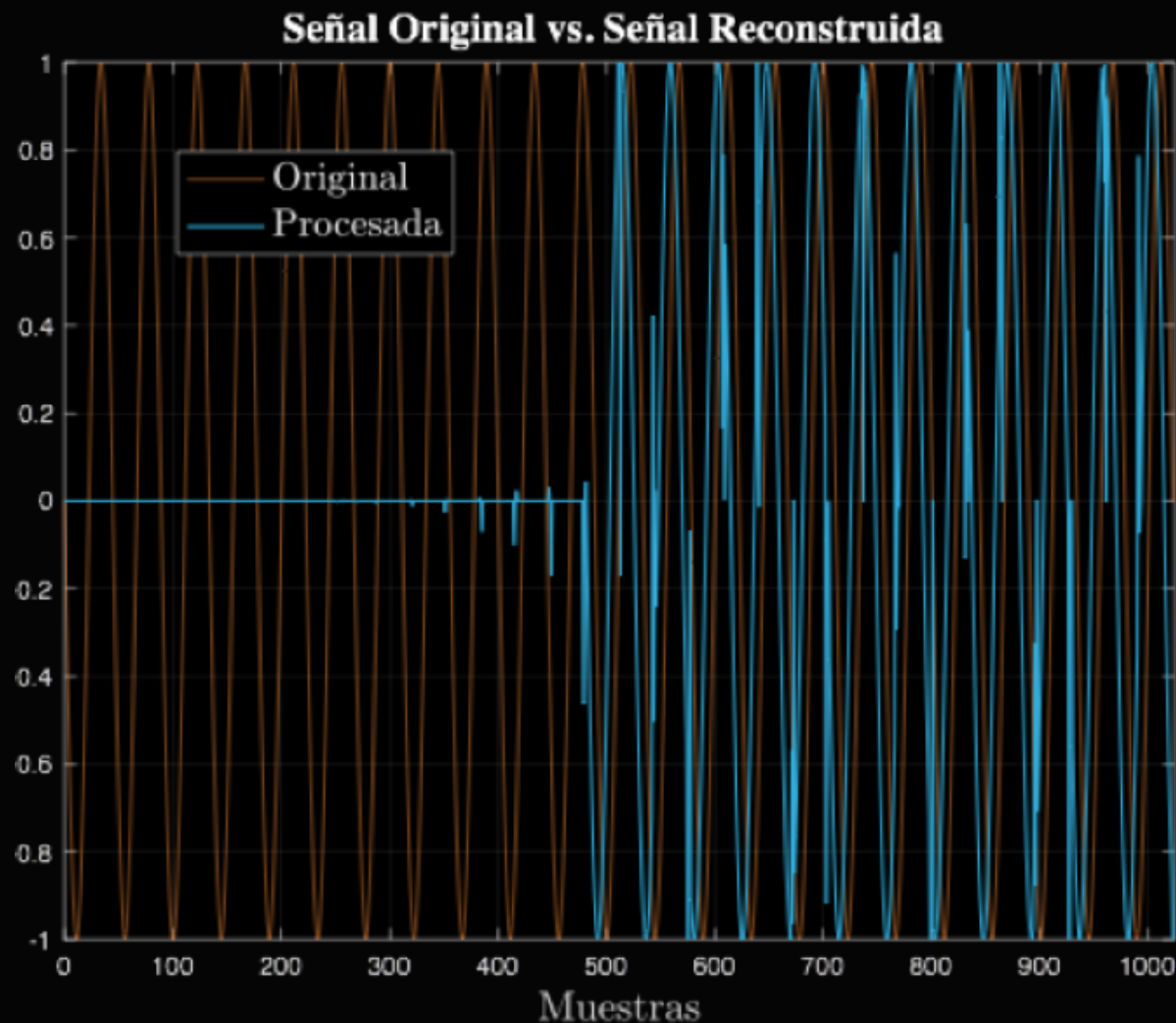
-Se van ingresando al revés 32 muestras de audio a un buffer de tamaño=512: $x[n]$.

-Se ventanea dicho buffer $x[n]$.

-Se modula $x[n]$ ventaneado.

-Se entregan 32 bandas espectrales en $y[k]$

Reconstrucción de la señal pasando por el PQMF e IPQMF con el Algoritmo de Reinterpretación



IPQMF

```
float* IPQMF_Synthesis::IPQMF_Filtering(float x[]){  
  
    for(int i = 1023; i >= 64; i--){  
        v[i] = v[i - 64];  
    }  
  
    for(auto i = 0; i < 64; i++) {  
        part_sum = 0;  
        for(auto k = 0; k < 32; k++) {  
            part_sum += N_k_r[k][i] * x[k];  
        }  
        v[i] = part_sum;  
    }  
  
    for(int i = 0; i < 8; i++){  
        for(int j = 0; j < 32; j++){  
            u[64*i+j] = v[128*i+j];  
            u[64*i+32+j] = v[128*i+96+j];  
        }  
    }  
  
    for(int i = 0; i < 512; i++){  
        w[i] = d[i] * u[i];  
    }  
  
    static float y[32];  
  
    for(int j = 0; j < 32; j++){  
        part_sum2 = 0;  
        for(auto i = 0; i < 16; i++) {  
            part_sum2 += w[j+32*i];  
        }  
        y[j] = part_sum2;  
    }  
  
    //corrección por promediación de la muestra 1  
    y[1] = 0.5*(y[0] + y[2]);  
    return y;  
}
```

-Se ingresan 32 muestras espectrales $x[k]$.

-Se modula $x[k]$

-Se ventanea con el filtro base a $x[k]$ modulado.

-Se entrega un arreglo $y[n]$ de 32 muestras reconstruidas.

-Interpolación por promediación #1:
Corrección de la muestra 1, $y[1]$
Para cada bloque de 32 muestras

```

//Set del numero de bloques de a 32 a procesar:
PQMF_processor.setNumberBlocks(buffer.getNumSamples()/32);

for(int blockIndex = 0; blockIndex < buffer.getNumSamples()/32; blockIndex++){
    //Indexación de a 32 muestras en el buffer circular.
    for(int i = 0; i < 32; i++){
        x.addSample(buffer.getSample(0, i + blockIndex*32));

        //Procesamiento del buffer circular con el PQMF y el IPQMF.
        output_sintesis = IPQMF_processor.IPQMF_Filtering(PQMF_processor.PQMF_Filtering(x.buffer));

        //Indexación de la señal reconstruida de a bloques de 32 hasta llenarse a bufferToFill.numSamples
        for(int n = 0; n < 32; n++){
            recons_signal[n + blockIndex*32] = *(output_sintesis + n);
        }

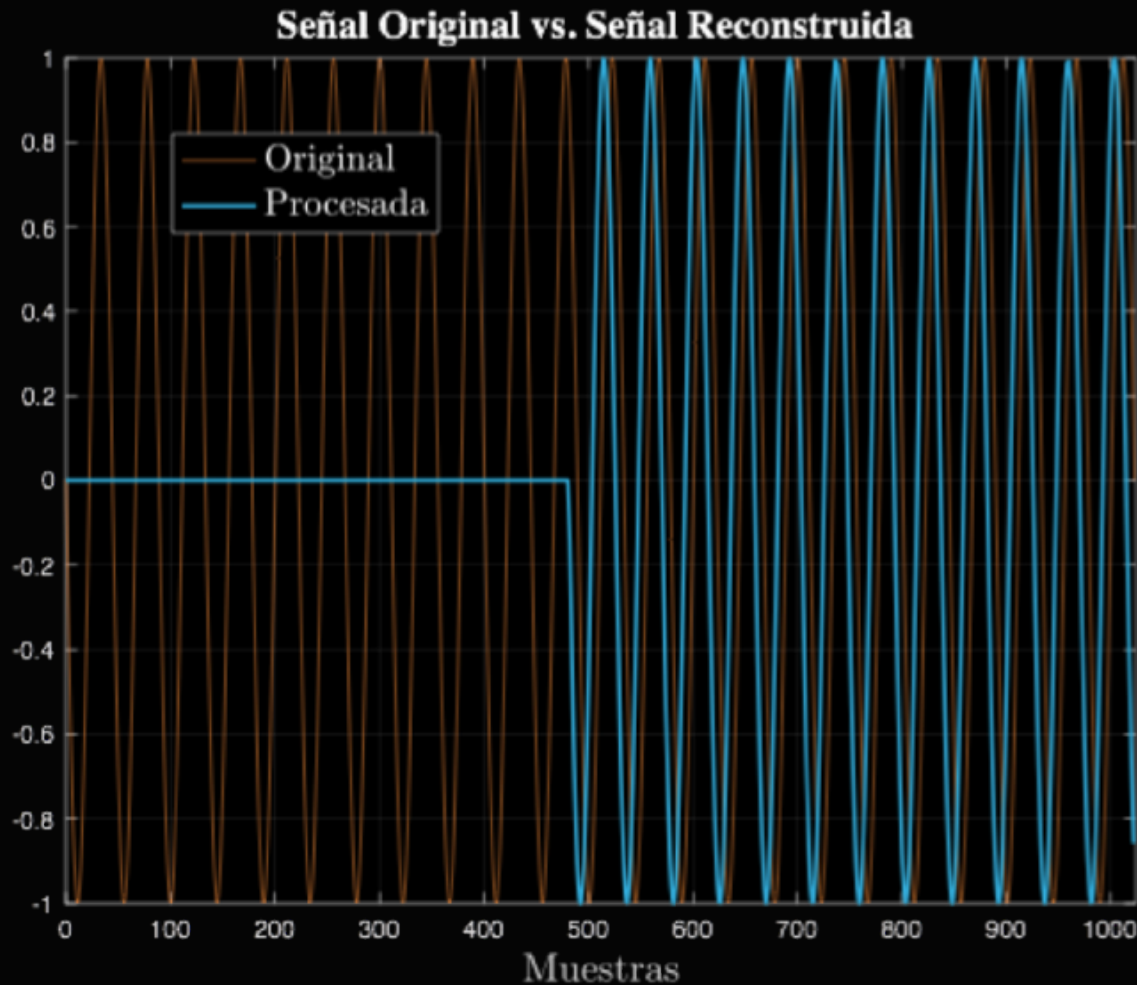
        //Corrección por promediación de las últimas muestras de cada salida y[32] de síntesis:
        for(int i = 31; i < buffer.getNumSamples(); i += 32){
            if(i == buffer.getNumSamples() - 1){
                recons_signal[i] = recons_signal[i-1];
                break;
            }else{
                recons_signal[i] = 0.5*(recons_signal[i-1] + recons_signal[i+1]);
            }
        }

        //Indexación de la señal reconstruida en el buffer de salida:
        for(int channel = 0; channel < totalNumInputChannels; ++channel){
            auto* channelData = buffer.getWritePointer(channel);
            for(auto n = 0; n < buffer.getNumSamples(); n++){
                channelData[n] = recons_signal[n];
                pushNextSampleIntoFifo(recons_signal[n]);
            }
        }
}

```

-Interpolación por
 promediación #2:
 Corrección de la muestra 31
 para cada bloque de 32
 muestras de cada salida de
 y[n]

Reconstrucción de la señal pasando por el PQMF con el algoritmo de reinterpretación y la interpolación completa.

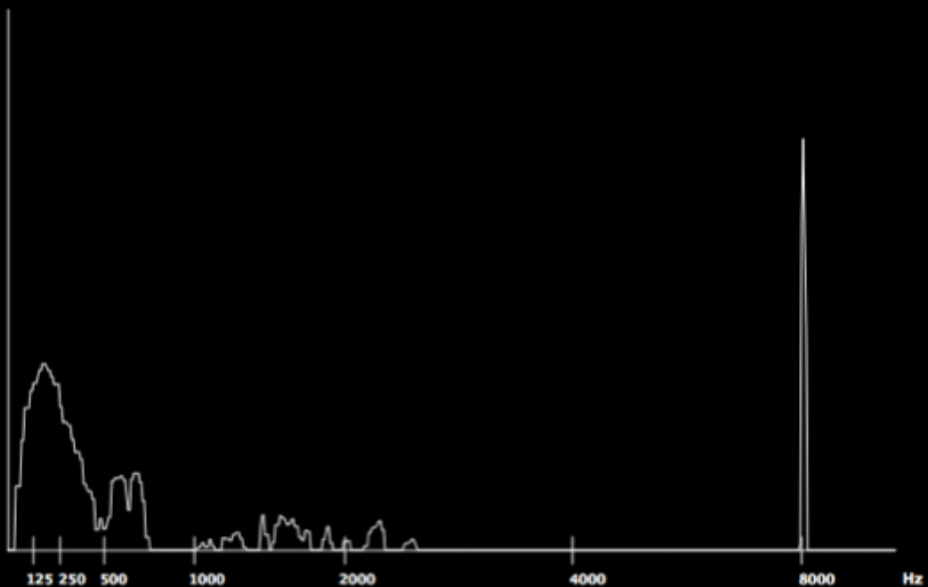


Sin embargo, siempre la última muestra de cada $L = \text{buffer.getNumSample}$ no es interpolada, dado que se pierde la referencia, por lo que se genera discontinuidad cada L muestras y por tanto, distorsión armónica cada L/fs segundos.

Visualización de la Magnitud Espectral del Audio procesado con PQMF y sin procesamiento

PQMF & IPQMF Process

Psyco/Pseudo-Pixela

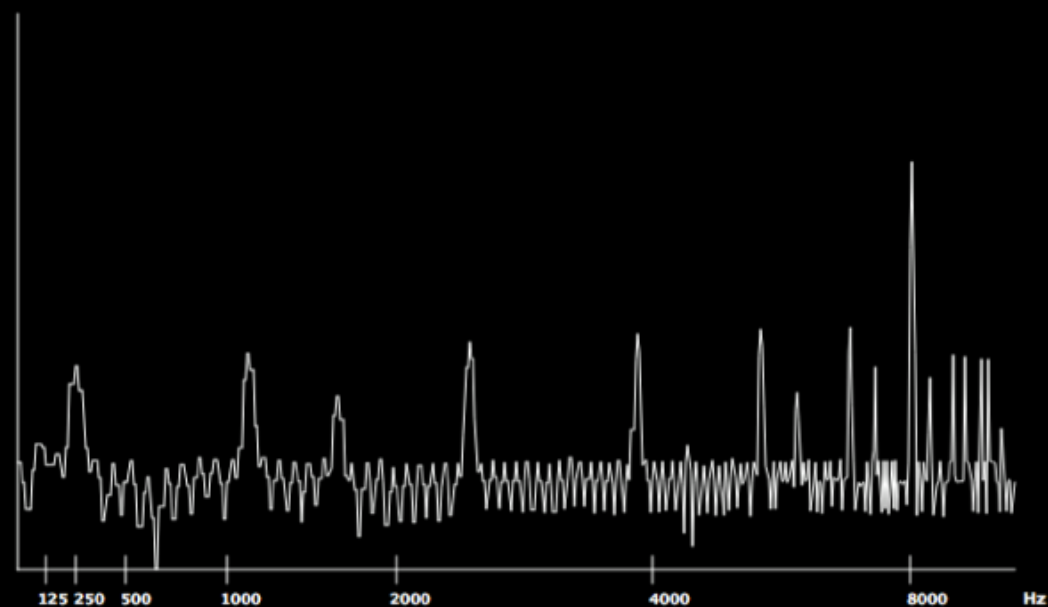


Sin PQMF

☒ ByPass

PQMF & IPQMF Process

Psyco/Pseudo-Pixela



Con PQMF

☐ ByPass

BIBLIOGRAFÍA

Bosi, M., & Goldbrg, R. E. (2003). *Didital Audio Signal Processing*. Boston: KLUWER ACADEMIC PUBLISHERS.

Meyer, F. G. (2015). *Lab 4*. Colorado: University of Colorado at Boulder.